

# G P U を用いた 2 次元 F D T D 法の計算高速化

## A high-speed two-dimensional FDTD method using graphics processing unit

高田直樹†

増田信之††

田中喬††

阿部幸男††

伊藤智義††

下馬場朋祿†††

Naoki Takada

Nobuyuki Masuda

Takashi Tanaka

Yukio Abe

Tomoyoshi Ito

Tomoyoshi Shimobaba

### 1. まえがき

様々な電磁波シミュレーション手法が存在する中で、有限差分時間領域法（FDTD 法：Finite-Difference Time-Domain method）[1]を用いた電磁波問題解析に関する研究は著しく発展を遂げている。FDTD 法は、計算効率に優れ、電磁波問題のモデル化が容易であり、実験値と良く一致することから実用化されている。FDTD 法の計算高速化は電磁波関連機器の開発時間短縮につながるため重要である。また、電磁波は目には見えないため、現象を把握することは困難であり、電磁界現象の可視化も重要である。

FDTD 法の計算高速化に関する研究として、PC クラスタを用いた分散並列 FDTD 法[2][3]がある。しかし、PC クラスタはコストが高く、大規模となる欠点がある。

近年、GPU(Graphics processing unit)の計算速度は著しく向上している。最近の GPU は、単精度浮動小数点演算を行うことができ、CPU(Central processing unit)の計算速度を超えており、本研究では、FDTD 法の差分式を GPU に適用することを目的とする。計算モデルとして、基本的な電磁波問題である平面波の金属による散乱問題を扱い、GPU による FDTD 法の計算高速化を検証する。

### 2. 2 次元 FDTD 法

FDTD 法[1]は、1966 年に Yee により考案された。マクスウェル方程式を時間及び空間について離散化し、中心差分により導出された差分式を用いて電磁界成分を求める方法である。リープフロッギングアルゴリズムを用い、電界  $\vec{E}$  及び磁界  $\vec{H}$  は、時間に対して交互に計算される。

FDTD 法の差分式は次式となる。

$$H_x^{n+1/2}(i, j + 1/2) = H_x^{n-1/2}(i, j + 1/2) - \frac{\Delta t}{\mu \Delta y} \{ E_z^n(i, j + 1) - E_z^n(i, j) \} \quad (1)$$

$$H_y^{n+1/2}(i + 1/2, j) = H_y^{n-1/2}(i + 1/2, j) + \frac{\Delta t}{\mu \Delta x} \{ E_z^n(i + 1, j) - E_z^n(i, j) \} \quad (2)$$

$$E_z^{n+1}(i, j) = E_z^n(i, j) - \frac{\Delta t}{\epsilon \Delta y} \{ H_x^{n+1/2}(i, j + 1/2) - H_x^{n+1/2}(i, j - 1/2) \} + \frac{\Delta t}{\epsilon \Delta x} \{ H_y^{n+1/2}(i + 1/2, j) - H_y^{n+1/2}(i - 1/2, j) \} \quad (3)$$

ここで、空間離散間隔を  $\Delta x, \Delta y$  とし、時間離散間隔を  $\Delta t$  とする。

式(1),(2)の磁界成分計算終了後に、タイムステップを進め、式(3)の電界計算を行う（図 1）。

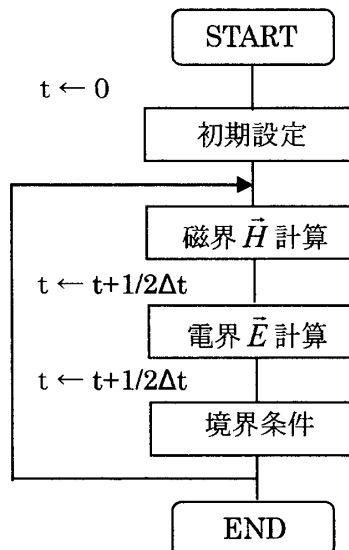


図 1 FDTD 法のフローチャート

例えば、散乱体が損失のない金属（完全導体）の場合は、次式を用い、散乱現象を発生させる。

$$E_z(i_a, j_a) = -^{inc} E_z(i_a, j_a) \quad (4)$$

ここで、 $^{inc} E$  は入射波、 $(i_a, j_a)$  は散乱体上の座標を示す。

### 3. GPU を用いた散乱界 FDTD 法

最近の GPU[4]は、単精度浮動小数点演算ユニットを複数もち、ベクトル演算が可能である。CPU を上まわる高い演算性能を発揮している。GPU 内部には、高速なコンピュータグラフィックス (CG) 处理を行うために、2 つのパイプラインが存在する。頂点処理を目的としたパイプライン「Vertex Shader」と、ピクセル処理を目的としたパイプライン「Pixel Shader」である。現在、「Vertex Shader」、「Pixel Shader」はプログラム可能となっている。

本研究では、GPU として nVidia Geforce 7800 GTX (表 1) を使用した。グラフィックス API として、DirectX9.0c を使用し、上位レベルシェーダ言語として、HLSL (High Level Shader Language) を用いた。FDTD 法の差

† 湘北短期大学情報メディア学科 †† 千葉大学工学部  
††† 山形大学工学部

分計算には「Pixel Shader」のみを使用した。電界成分( $E_z$ )のテクスチャーと、磁界成分( $H_x, H_y$ )のテクスチャーに分け、次ステップの電界または磁界が計算を行なう際に、2つのテクスチャーをGPUに渡し、「Pixel Shader」において差分計算を行なわせる。境界条件を効率良く取り扱うため、タイムステップの加算の仕方を改良した。従来の方法(図1)では、磁界及び電界計算の終了後に $1/2\Delta t$ だけタイムステップを進め、その後に境界条件を計算する。しかし、これでは電磁界成分のテクスチャーをGPUに送る回数が増えてしまう。そこで、本手法では、磁界計算終了後にタイムステップを $\Delta t$ 進め、電界計算と境界条件の計算を1度に行なうようにした。

表1 nVidia Geforce 7800 GTX

Core Clock	430 MHz
Memory	256 MB
Memory Clock	1.2 GHz
Vertex Shader	8
Pixel Shader	24

#### 4. 計算モデル

本研究では、基本的な散乱現象を計算モデルとして扱い、本手法と従来のFDTD法の計算時間を比較する。計算モデルとして、完全導体角柱(1辺の大きさ: $ka = 2\pi a/\lambda = 5.0$ )に平面波による散乱を用いる。完全導体角柱の境界条件は次式となる。

$$E_z(i_a, j_a) = -\sin\{\omega(n+1)\Delta t\} \quad (5)$$

ここで、 $\omega = 2\pi/T$ ,  $\Delta x = \Delta y = \Delta$ ,  $\Delta t = 0.5\Delta$ ,  $\lambda = 20\Delta$ とする。なお、 $C = \lambda/T = 1$ として規格化した。完全導体角柱は、解析領域( $L\Delta x \times L\Delta y$ )の中央に配置した(図2)。

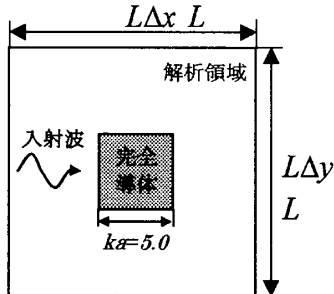


図2 計算モデル

#### 5. 結果

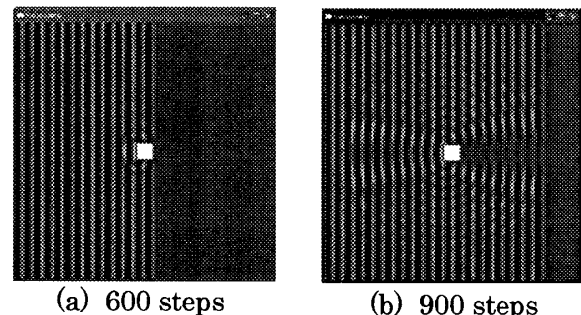
本手法による計算高速化を検証するため、CPUを用いて従来のFDTD法で計算した場合と、本手法によりGPUを用いて計算した場合と、両者について計算時間を測定した(表2)。計算システムには、同じPC(CPU: Intel Pentium4 3.4 GHz, メモリ: 2.0GB)を用いた。CPUの計算においては、2つのオペレーティングシステム(OS): Microsoft Windows Xp、Fedra Core 4で計算時間を測定した。GPUの計算では、Windows Xpを使用した。グラフィックスAPIとして、DirectX9.0cを、上位レベルシェーダ言語として、HLSL(High Level Shader Language)を用いた。また、コンパイラは、Windowsの場合、Visual C++ .Net 2003を使

用した。最適化オプションに“-O2”を使用した。Linuxの場合は、gcc 4.0を使用し、最適化オプションに“-O3”を用いた。表2において、“CPU(Win)”は、OSにWindows Xpを用いてCPUで計算した場合の計算時間を、“CPU(Linux)”はLinuxでCPUを用いた場合の計算時間を示している。“GPU(Win)”は、WindowsでGPUを用いた場合の計算時間を示している。なお、それぞれ1000stepまでの計算時間を測定した。CPUにおいてFDTD法の計算には、単精度浮動小数点演算を使用した。

表2 散乱界 FDTD 法の計算時間 (1000 step)

解析領域	Calculation time of 1000 steps (ms)		
	CPU (Win)	CPU (Linux)	GPU (Win)
256x256	2047	2138	431
512x512	13763	14020	1655
1024x1024	74841	70230	6340

表2より、解析領域 $1024 \times 1024$ において、GPUでの計算は、Linux上でCPUを用いて計算した場合に比べ、約11倍計算高速化された。また、解析領域が大きくなるにつれ、計算高速化がなされることが示された。1000step後の計算結果を比較したところ、GPUとCPUの計算結果は、有効数字6桁一致しており、十分な計算精度が得られている。また、GPUによる計算結果(電界成分 $E_z$ )を図3に示す。

図3 完全導体角柱による散乱(電界 $E_z$ )

#### 6. まとめ

2次元FDTD法をGPUに適用した。解析領域 $1024 \times 1024$ において、従来のCPUによる計算時間に比べ、本手法により約11倍計算高速化なされた。今後は、FDTD法で一般的に使用されているPML吸収境界条件の適用と、3次元化を行う予定である。

#### 7. 文献

- [1] K.S. Yee, *IEEE Trans. Antennas Propag.* AP-14 (1966) 302.
- [2] D. P. Rodohan, S. R. Saunders, R. J. Glover, *Int. J. Numerical Modelling: Electronic Networks, Devices and Fields* 8 (1995) 221.
- [3] 高田直樹, 安藤勝規, 本島邦行, 伊藤智義, 上崎省吾, “新たな分散FDTD法アルゴリズム”, 電子情報通信学会論文誌C-I, Vol. J80-C-I, No. 2, 1997.
- [4] M. Pharr, “GPU Gems 2”, ボーンデジタル (2005)